

# Нейронные дифференциальные уравнения

Neural Ordinary Differential Equations

# NeurIPS 2018

---

## Neural Ordinary Differential Equations

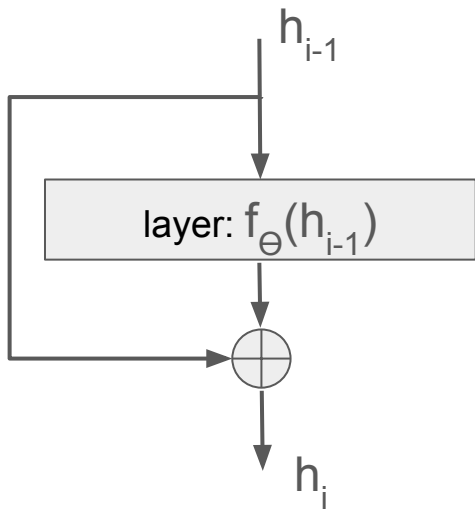
---

**Ricky T. Q. Chen\***, **Yulia Rubanova\***, **Jesse Bettencourt\***, **David Duvenaud**  
University of Toronto, Vector Institute  
`{rtqichen, rubanova, jessebett, duvenaud}@cs.toronto.edu`

Lev Semenovich Pontryagin, EF Mishchenko, VG Boltyanskii, and RV Gamkrelidze. The mathematical theory of optimal processes. 1962.

# Краткий обзор и обозначения

Технически, нейронные дифференциальные уравнения получены как предельный случай так называемых *residual networks* (ResNets). Выход  $i$ -го слоя ResNets определяется как:



$$h_i = h_{i-1} + f_{\theta}^i(h_{i-1}).$$

# Краткий обзор и обозначения

Представим глубокую сеть:

$$h_i = h_{i-1} + \varepsilon f_{\theta}^i(h_{i-1}), \quad i = 1, \dots, N,$$

$$\varepsilon \sim 1/N$$

Это формула хорошо известного метода Эйлера для решения дифференциального уравнения. Если  $N$  стремится к бесконечности, последовательность значений  $h_i$  стремится к решению дифференциального уравнения:

$$\dot{x}(t) = f_{\theta}(t, x(t)),$$

$$x(t) \in \mathbb{R}^n \quad x_{input} \in \mathbb{R}^n$$

# Краткий обзор и обозначения

Пусть решением диф. уравнения

$$\dot{x}(t) = f_{\theta}(t, x(t)),$$

с траекторией проходящей через точку:

$$t = 0, x = x_{input}$$

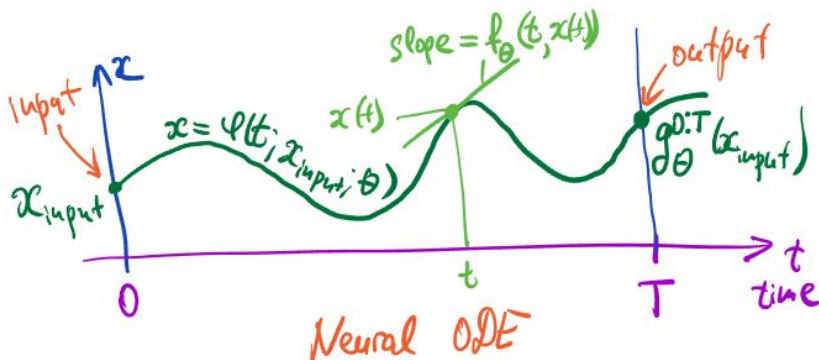
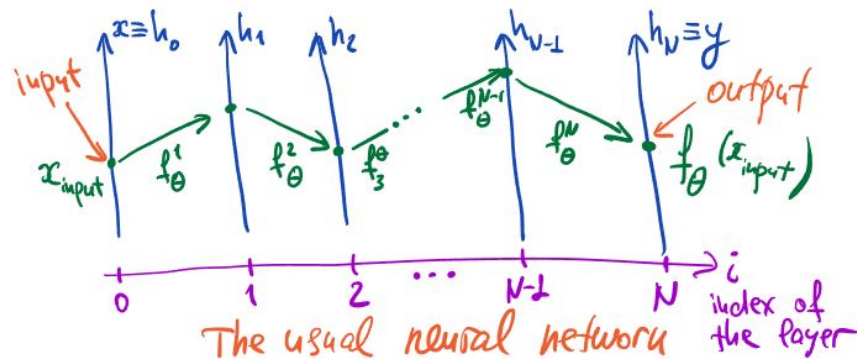
будет:  $\varphi(t; x_{input}; \theta)$

По определению:  $\varphi(0; x_{input}; \theta) = x_{input}$

Выходной вектор нашей сети, это решение в точке  $T$ . Если поменять входной вектор, изменится решение и выходной вектор. Т.е. наша сеть определяет отображение:

$$g_{\theta}^{0:T}: \mathbb{R}^n \rightarrow \mathbb{R}^n,$$

$$g_{\theta}^{0:T}(x_{input}) = \varphi(T; x_{input}; \theta),$$



# Функция потерь и градиент по параметрам

Как обычно у нас должна быть функция потерь:

$$\mathcal{L}(\theta) = L(g_{\theta}^{0:T}(x_{input}), y_{true})$$

И ее градиент по параметрам:

$$\nabla_{\theta} \mathcal{L}(\theta) = \nabla_y L \cdot \frac{\partial g_{\theta}^{0:T}(x_{input})}{\partial \theta}$$

Второй множитель в правой части мы перепишем как якобиан решения диф.уравнения:

$$\frac{\partial g_{\theta}^{0:T}(x_{input})}{\partial \theta} = \frac{\partial \varphi(x_{input}; T; \theta)}{\partial \theta}$$

Таким образом, нам надо найти производную решения диф.уравнения по параметрам

# Градиент функции потерь

**i Theorem.** For each  $t \in [0, T]$  and some fixed  $\theta$ , let us denote

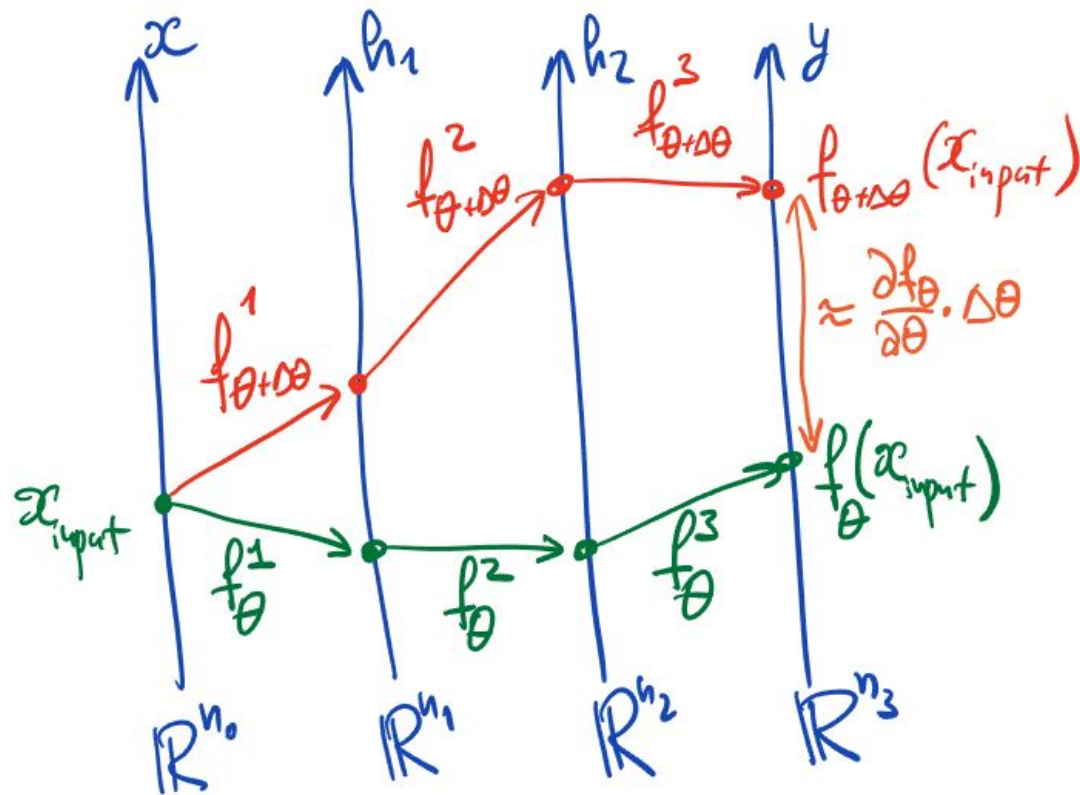
$$v(t) := \frac{\partial \varphi(x_{input}; t; \theta)}{\partial \theta}.$$

So  $v(t)$  measures how the solution of our equation at point  $t$  depends on the parameters  $\theta$ . Then (under reasonable assumptions)  $v$  satisfies the following differential equation:

$$\dot{v} = \frac{\partial f_{\theta}(t, x(t))}{\partial \theta} + \frac{\partial f_{\theta}(t, x(t))}{\partial x} v, \quad (16)$$

where  $x(t) = \varphi(t; x_{input}; \theta)$ .

# Градиент функции потерь (нейросеть)





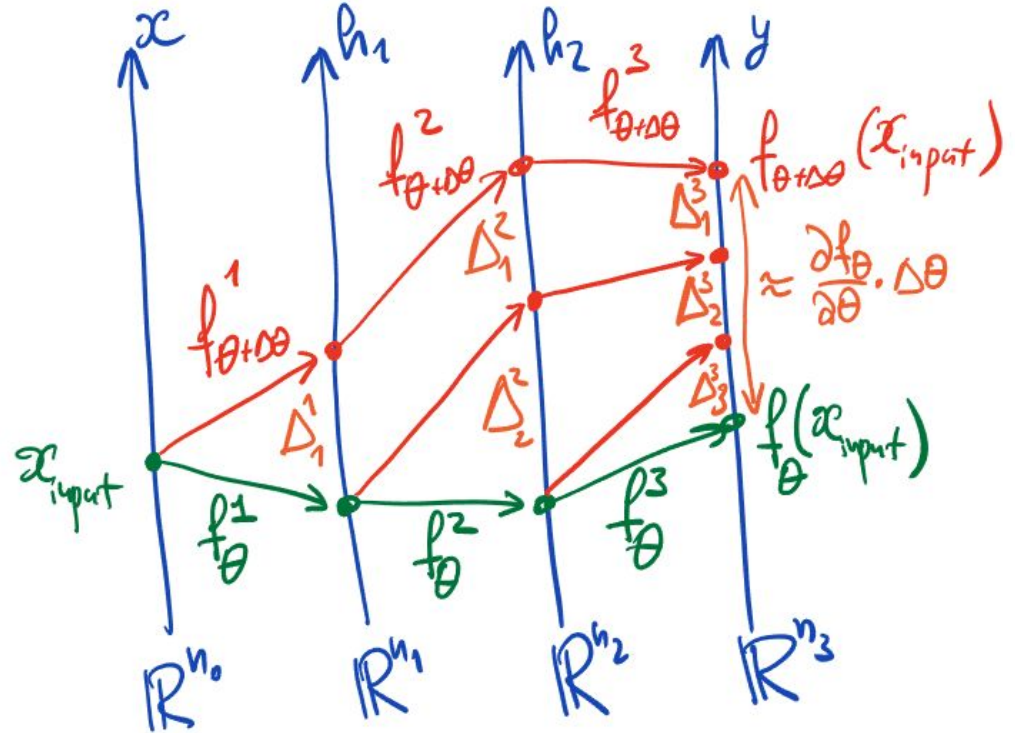
# Градиент функции потерь (нейросеть)

$$\Delta_3^3 \approx \frac{\partial f_\theta^3}{\partial \theta} \Delta \theta.$$

$$\Delta_2^2 \approx \frac{\partial f_\theta^2}{\partial \theta} \Delta \theta.$$

$$\Delta_2^3 \approx \frac{\partial f_{\theta+\Delta\theta}^3}{\partial h_2} \Delta_2^2 \approx \frac{\partial f_{\theta+\Delta\theta}^3}{\partial h_2} \frac{\partial f_\theta^2}{\partial \theta} \Delta \theta.$$

$$\begin{aligned} \Delta_1^3 &\approx \frac{\partial f_{\theta+\Delta\theta}^3}{\partial h_2} \Delta_1^2 \approx \frac{\partial f_{\theta+\Delta\theta}^3}{\partial h_2} \frac{\partial f_{\theta+\Delta\theta}^2}{\partial h_1} \Delta_1^1 \\ &\approx \frac{\partial f_{\theta+\Delta\theta}^3}{\partial h_2} \frac{\partial f_{\theta+\Delta\theta}^2}{\partial h_1} \frac{\partial f_\theta^1}{\partial \theta} \Delta \theta. \end{aligned}$$



## Градиент функции потерь (нейросеть)

$$\frac{\partial f_{\theta}}{\partial \theta} \Delta \theta \approx \Delta_3^3 + \Delta_2^3 + \Delta_1^3 \approx$$
$$\left( \frac{\partial f_{\theta}^3}{\partial \theta} + \frac{\partial f_{\theta+\Delta\theta}^3}{\partial h_2} \frac{\partial f_{\theta}^2}{\partial \theta} + \frac{\partial f_{\theta+\Delta\theta}^3}{\partial h_2} \frac{\partial f_{\theta+\Delta\theta}^2}{\partial h_1} \frac{\partial f_{\theta}^1}{\partial \theta} \right) \Delta \theta$$

В пределе  $\Delta \theta \rightarrow 0$  приближенное равенство становится точным:

$$\frac{\partial f_{\theta}}{\partial \theta} = \frac{\partial f_{\theta}^3}{\partial \theta} + \frac{\partial f_{\theta}^3}{\partial h_2} \frac{\partial f_{\theta}^2}{\partial \theta} + \frac{\partial f_{\theta}^3}{\partial h_2} \frac{\partial f_{\theta}^2}{\partial h_1} \frac{\partial f_{\theta}^1}{\partial \theta}$$

## Градиент функции потерь (нейросеть)

$$\begin{aligned}\nabla_{\theta}\mathcal{L} &= \nabla_y L \cdot \frac{\partial f_{\theta}}{\partial \theta} = \\ &\nabla_y L \cdot \left( \frac{\partial f_{\theta}^3}{\partial \theta} + \frac{\partial f_{\theta}^3}{\partial h_2} \frac{\partial f_{\theta}^2}{\partial \theta} + \frac{\partial f_{\theta}^3}{\partial h_2} \frac{\partial f_{\theta}^2}{\partial h_1} \frac{\partial f_{\theta}^1}{\partial \theta} \right) = \\ &\nabla_y L \frac{\partial f_{\theta}^3}{\partial \theta} + \nabla_y L \frac{\partial f_{\theta}^3}{\partial h_2} \frac{\partial f_{\theta}^2}{\partial \theta} + \nabla_y L \frac{\partial f_{\theta}^3}{\partial h_2} \frac{\partial f_{\theta}^2}{\partial h_1} \frac{\partial f_{\theta}^1}{\partial \theta}.\end{aligned}$$

$$\begin{aligned}\nabla_{\theta}\mathcal{L}(\theta) &= \nabla_y L \frac{\partial f_{\theta}^3}{\partial \theta} + \left( \nabla_y L \frac{\partial f_{\theta}^3}{\partial h_2} \right) \frac{\partial f_{\theta}^2}{\partial \theta} \\ &\quad + \left( \nabla_y L \frac{\partial f_{\theta}^3}{\partial h_2} \right) \frac{\partial f_{\theta}^2}{\partial h_1} \frac{\partial f_{\theta}^1}{\partial \theta}\end{aligned}$$

# Градиент функции потерь (нейросеть)

Еще немного преобразований:

$$\nabla_y L \frac{\partial f_\theta^3}{\partial h_2} = \nabla_{h_2} (L \circ f_\theta^3) \qquad \nabla_y L \frac{\partial f_\theta^3}{\partial h_2} \frac{\partial f_\theta^2}{\partial h_1} = \nabla_{h_1} (L \circ f_\theta^3 \circ f_\theta^2)$$

Введем новое обозначение:  $h_3 \equiv y$

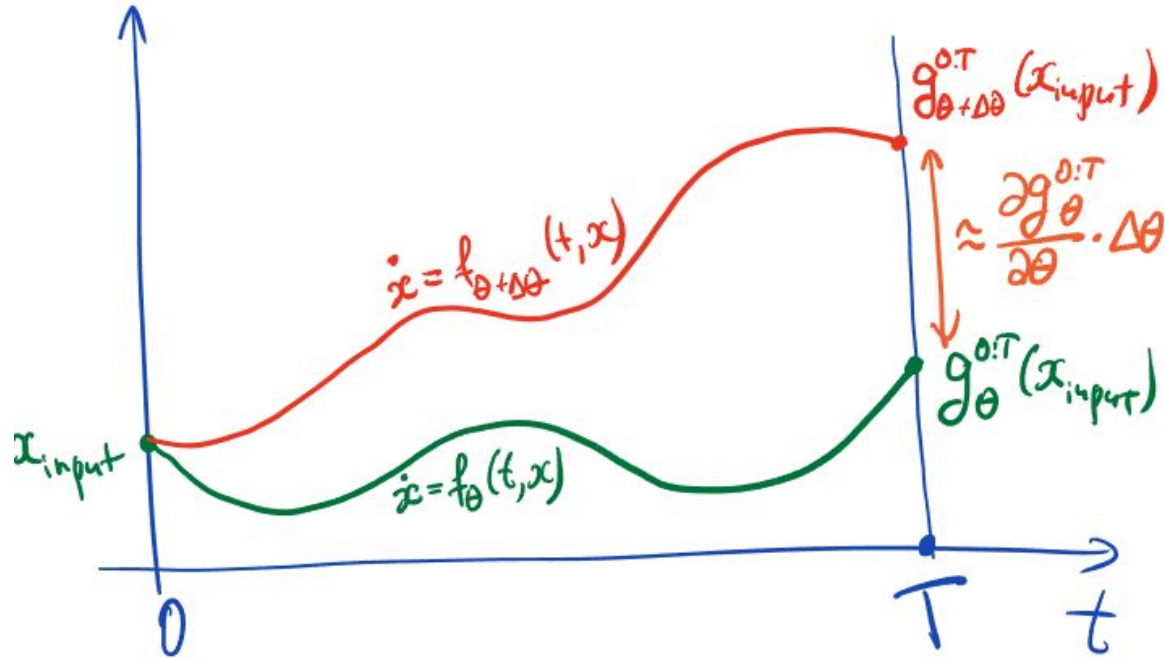
$$\nabla_{h_2} L = \nabla_{h_3} L \cdot \frac{\partial f_\theta^3}{\partial h_2}, \qquad \nabla_{h_1} L = \nabla_{h_2} L \cdot \frac{\partial f_\theta^2}{\partial h_1}.$$

$$\nabla_\theta \mathcal{L}(\theta) = \nabla_{h_3} L \frac{\partial f_\theta^3}{\partial \theta} + \nabla_{h_2} L \frac{\partial f_\theta^2}{\partial \theta} + \nabla_{h_1} L \frac{\partial f_\theta^1}{\partial \theta}$$

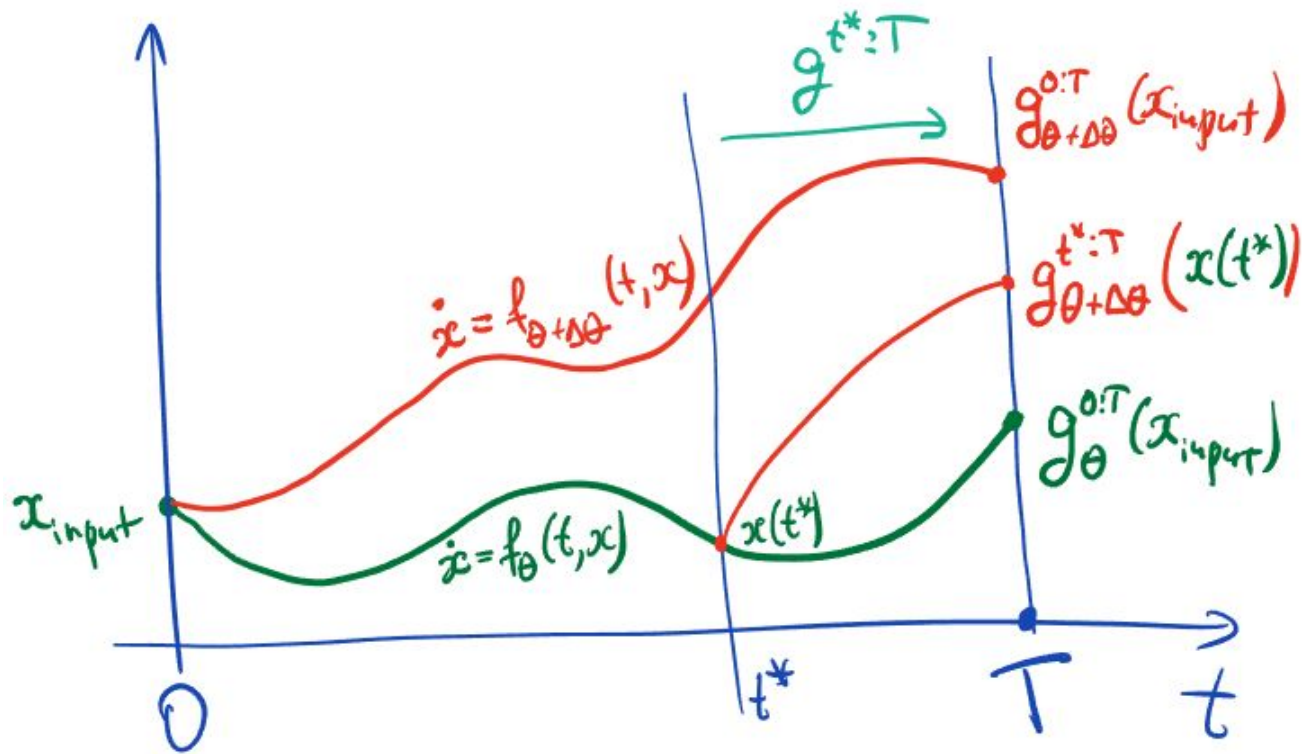
$$\nabla_\theta \mathcal{L}(\theta) = \sum_{i=N}^1 \nabla_{h_i} L \frac{\partial f_\theta^i}{\partial \theta} \qquad \nabla_{h_i} L = \nabla_{h_{i+1}} L \cdot \frac{\partial f_\theta^{i+1}}{\partial h_i}, \quad i = N, \dots, 1.$$

# Градиент функции потерь (нейронные диф.уравнения)

$$\varphi(T; \theta + \Delta\theta) - \varphi(T; \theta) = g_{\theta+\Delta\theta}^{0:T}(x_{input}) - g_{\theta}^{0:T}(x_{input}) \approx \frac{\partial g_{\theta}^{0:T}}{\partial \theta} \Delta\theta.$$



# Градиент функции потерь (нейронные диф.уравнения)

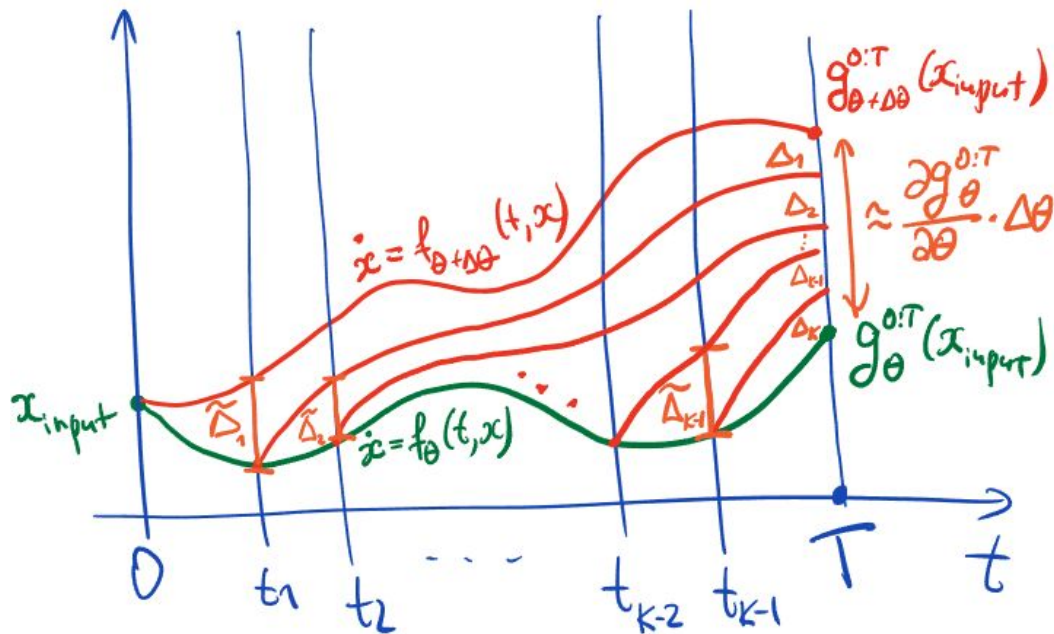


# Градиент функции потерь (нейронные диф.уравнения)

Разобьем сегмент  $[0, T]$  на  $K$  сегментов равной длины и обозначим конечные точки  $t_0, t_1, \dots, t_{K-1}$ , где  $t_0 = 0, t_K = T$

$$\frac{\partial g_{\theta}^{0:T}(x_{input})}{\partial \theta} \Delta \theta \approx \sum_{j=1}^K \Delta_j.$$

$$\Delta_j \approx \frac{\partial g_{\theta+\Delta\theta}^{t_j:T}(x(t_j))}{\partial x} \tilde{\Delta}_j.$$



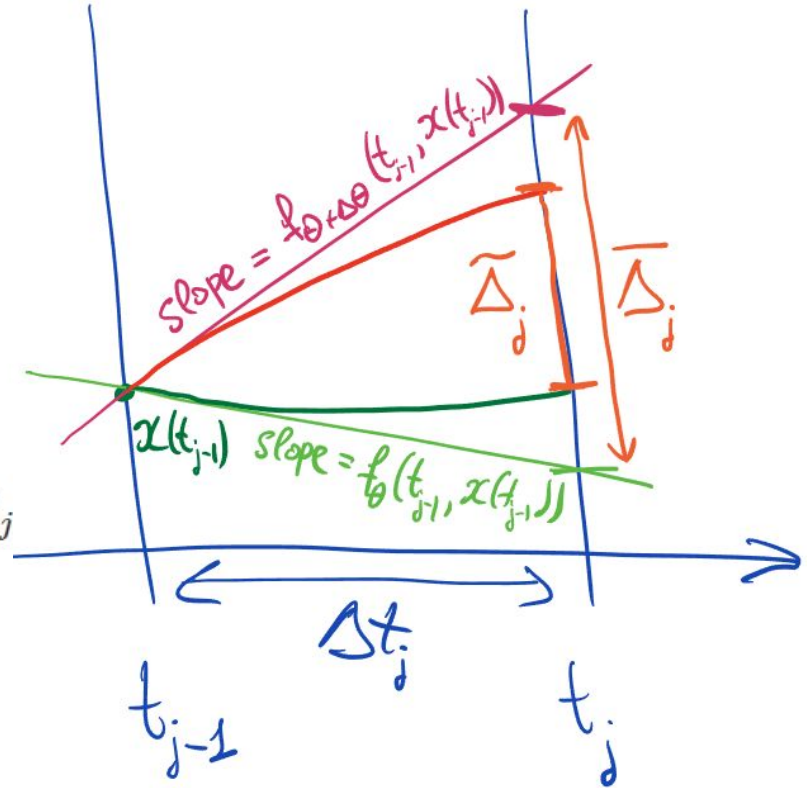


# Градиент функции потерь (нейронные диф.уравнения)

$$\bar{\Delta}_j = (f_{\theta+\Delta\theta}(t_{j-1}, x(t_{j-1})) - f_{\theta}(t_{j-1}, x(t_{j-1})))\Delta t_j$$

$$\tilde{\Delta}_j \approx \frac{\partial f_{\theta}(t_{j-1}, x(t_{j-1}))}{\partial \theta} \Delta \theta \Delta t_j$$

$$\Delta_j \approx \frac{\partial g_{\theta+\Delta\theta}^{t_j:T}(x(t_j))}{\partial x} \frac{\partial f_{\theta}(t_{j-1}, x(t_{j-1}))}{\partial \theta} \Delta \theta \Delta t_j$$





# Градиент функции потерь (нейронные диф.уравнения)

$$\frac{\partial g_{\theta}^{0:T}(x_{input})}{\partial \theta} \Delta \theta \approx \sum_{j=1}^K \frac{\partial g_{\theta+\Delta \theta}^{t_j:T}(x(t_j))}{\partial x} \frac{\partial f_{\theta}(t_{j-1}, x(t_{j-1}))}{\partial \theta} \Delta \theta \Delta t_j$$

Это выражение становится интегральной суммой при  $\Delta t \rightarrow 0$  :

$$\begin{aligned} \frac{\partial g_{\theta}^{0:T}(x_{input})}{\partial \theta} \Delta \theta &\approx \int_0^T \frac{\partial g_{\theta+\Delta \theta}^{t:T}(x(t))}{\partial x} \frac{\partial f_{\theta}(t, x(t))}{\partial \theta} \Delta \theta dt = \\ &\left( \int_0^T \frac{\partial g_{\theta+\Delta \theta}^{t:T}(x(t))}{\partial x} \frac{\partial f_{\theta}(t, x(t))}{\partial \theta} dt \right) \Delta \theta. \end{aligned}$$

И при  $\Delta \theta \rightarrow 0$  :

$$\frac{\partial g_{\theta}^{0:T}(x_{input})}{\partial \theta} = \int_0^T \frac{\partial g_{\theta}^{t:T}(x(t))}{\partial x} \frac{\partial f_{\theta}(t, x(t))}{\partial \theta} dt$$

# Градиент функции потерь (нейронные диф.уравнения)

$$\begin{aligned}\nabla_{\theta}\mathcal{L}(\theta) &= \nabla_y L \cdot \int_0^T \frac{\partial g_{\theta}^{t:T}(x(t))}{\partial x} \frac{\partial f_{\theta}(t, x(t))}{\partial \theta} dt \\ &= \int_0^T \left( \nabla_y L \frac{\partial g_{\theta}^{t:T}(x(t))}{\partial x} \right) \frac{\partial f_{\theta}(t, x(t))}{\partial \theta} dt\end{aligned}$$

$$\nabla_y L \frac{\partial g_{\theta}^{t:T}(x(t))}{\partial x} = \nabla_x (L \circ g_{\theta}^{t:T}(x)),$$

$$\nabla_{\theta}\mathcal{L}(\theta) = \int_0^T \nabla_{x(t)} L \frac{\partial f_{\theta}(t, x(t))}{\partial \theta} dt.$$

# Сопряженное уравнение

Обозначим  $\nabla_{x(t)} L$  как  $a(t)$

Л.В.Понтрягин показал, что  $a(t)$  удовлетворяет следующему диф.уравнению:

$$\dot{a}(t) = -a(t) \frac{\partial f(t, x)}{\partial x} \quad a(T) = \nabla_y L(y, y_{true}), \quad y = x(T)$$

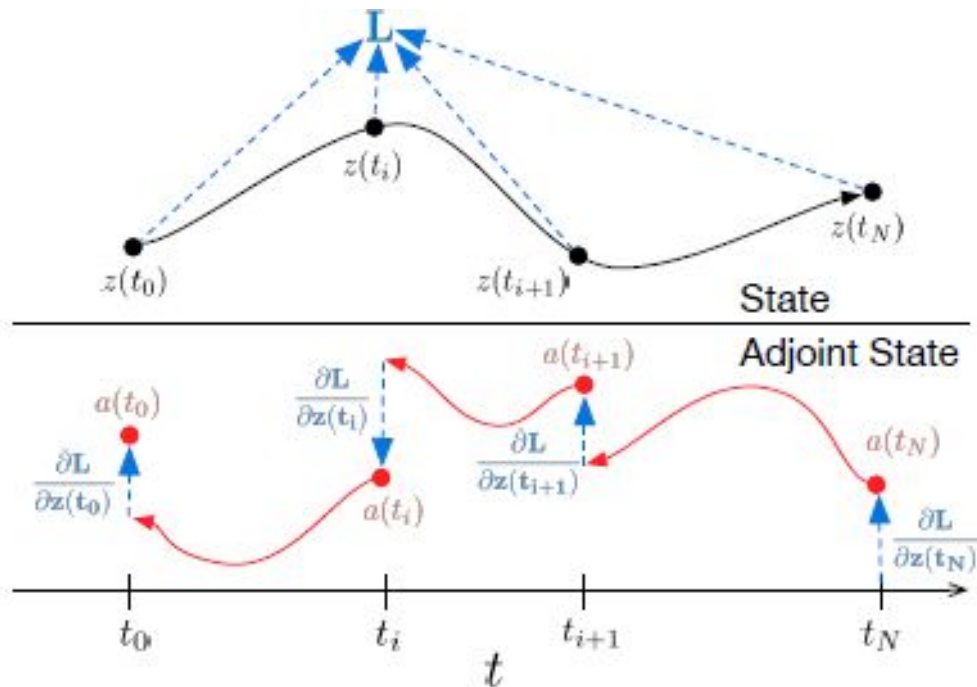
## Backpropagation в нейронных диф.уравнениях

$$\begin{cases} \dot{x} = f_{\theta}(t, x), \\ \dot{a} = -a \cdot \frac{\partial f_{\theta}(t, x)}{\partial x}, \\ \dot{u} = -a \cdot \frac{\partial f_{\theta}(t, x)}{\partial \theta}. \end{cases} \quad \begin{cases} x(T) = x_{output} \\ a(T) = \nabla_y L(y, y_{true}), \\ u(T) = 0 \end{cases} \quad \begin{array}{l} \\ \\ y = x_{output} \end{array}$$

$$u(t) = - \int_T^t a(\tau) \cdot \frac{\partial f_{\theta}(\tau, x(\tau))}{\partial \theta} d\tau = \int_t^T a(\tau) \cdot \frac{\partial f_{\theta}(\tau, x(\tau))}{\partial \theta} d\tau.$$

$$u(0) = \nabla_{\theta} \mathcal{L}(\theta)$$

# Обратное дифференцирование



# Алгоритм

---

**Algorithm 1** Reverse-mode derivative of an ODE initial value problem

---

**Input:** dynamics parameters  $\theta$ , start time  $t_0$ , stop time  $t_1$ , final state  $\mathbf{z}(t_1)$ , loss gradient  $\partial L / \partial \mathbf{z}(t_1)$   
 $s_0 = [\mathbf{z}(t_1), \frac{\partial L}{\partial \mathbf{z}(t_1)}, \mathbf{0}_{|\theta|}]$  ▷ Define initial augmented state  
**def** aug\_dynamics( $[\mathbf{z}(t), \mathbf{a}(t), \cdot], t, \theta$ ): ▷ Define dynamics on augmented state  
    **return**  $[f(\mathbf{z}(t), t, \theta), -\mathbf{a}(t)^\top \frac{\partial f}{\partial \mathbf{z}}, -\mathbf{a}(t)^\top \frac{\partial f}{\partial \theta}]$  ▷ Compute vector-Jacobian products  
 $[\mathbf{z}(t_0), \frac{\partial L}{\partial \mathbf{z}(t_0)}, \frac{\partial L}{\partial \theta}] = \text{ODESolve}(s_0, \text{aug\_dynamics}, t_1, t_0, \theta)$  ▷ Solve reverse-time ODE  
**return**  $\frac{\partial L}{\partial \mathbf{z}(t_0)}, \frac{\partial L}{\partial \theta}$  ▷ Return gradients

---

# Сравнение с NN

Table 1: Performance on MNIST. <sup>†</sup>From LeCun et al. (1998).

	Test Error	# Params	Memory	Time
1-Layer MLP <sup>†</sup>	1.60%	0.24 M	-	-
ResNet	0.41%	0.60 M	$\mathcal{O}(\tilde{L})$	$\mathcal{O}(\tilde{L})$
RK-Net	0.47%	0.22 M	$\mathcal{O}(\tilde{L})$	$\mathcal{O}(\tilde{L})$
ODE-Net	0.42%	0.22 M	$\mathcal{O}(1)$	$\mathcal{O}(\tilde{L})$

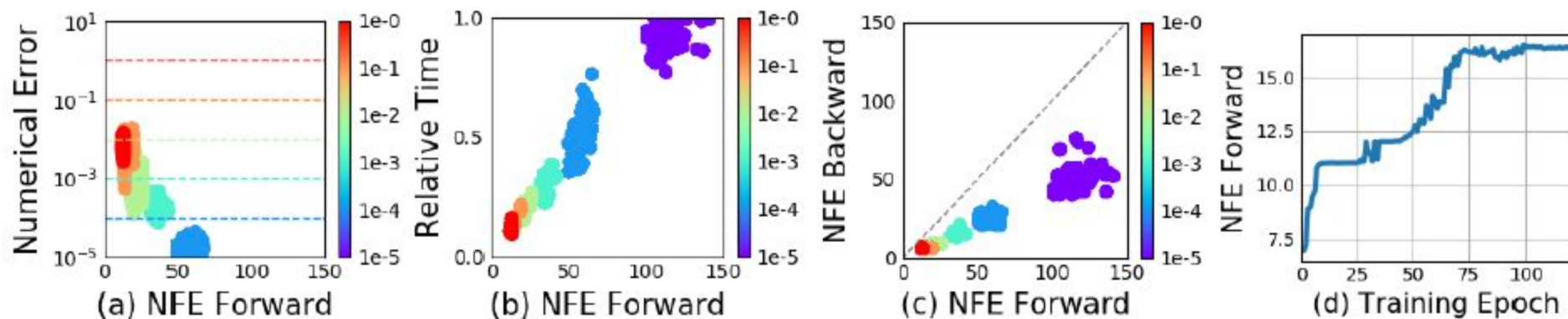
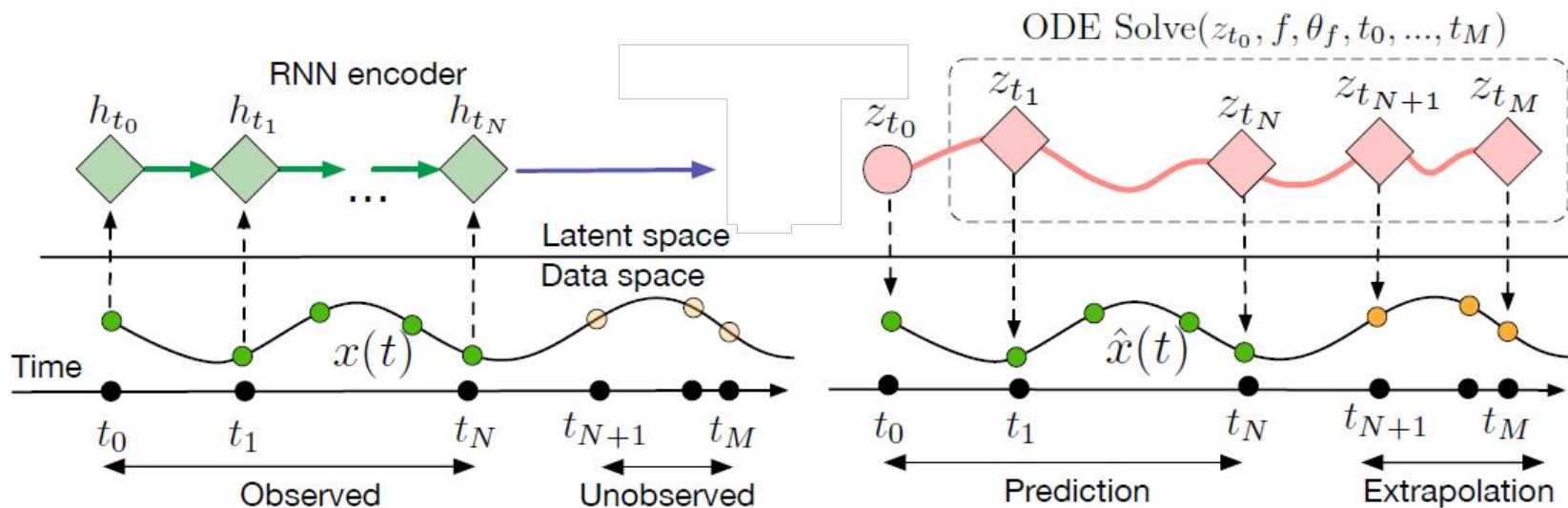


Figure 3: Statistics of a trained ODE-Net. (NFE = number of function evaluations.)

# Временные ряды с нерегулярными интервалами





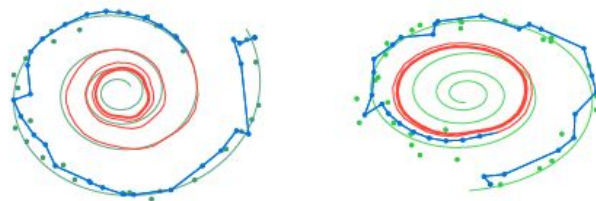
# Временные ряды с нерегулярными интервалами

**Bi-directional spiral dataset** We generated a dataset of 1000 2-dimensional spirals, each starting at a different point, sampled at 100 equally-spaced timesteps. The dataset contains two types of spirals: half are clockwise while the other half counter-clockwise. To make the task more realistic, we add gaussian noise to the observations.

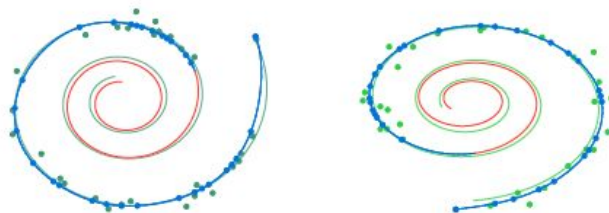
Table 2: Predictive RMSE on test set

# Observations	30/100	50/100	100/100
RNN	0.3937	0.3202	0.1813
Latent ODE	<b>0.1642</b>	<b>0.1502</b>	<b>0.1346</b>

# Временные ряды с нерегулярными интервалами

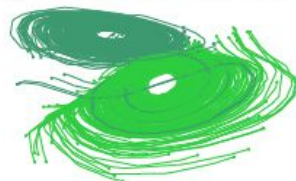


(a) Recurrent Neural Network



(b) Latent Neural Ordinary Differential Equation

— Ground Truth  
• Observation  
— Prediction  
— Extrapolation



# Примеры применения в биологии

Predicting metabolomic profiles from microbial composition through neural ordinary differential equations, March 2023, Nature Machine Intelligence

[Tong Wang](#),<sup>1</sup> [Xu-Wen Wang](#),<sup>1</sup> [Kathleen A. Lee-Sarwar](#),<sup>1,2</sup> [Augusto A. Litonjua](#),<sup>3</sup> [Scott T. Weiss](#),<sup>1</sup> [Yizhou Sun](#),<sup>4</sup> [Sergei Maslov](#),<sup>5,6</sup> and [Yang-Yu Liu](#)<sup>1,5,\*</sup>

# Прогнозирование метаболомного профиля

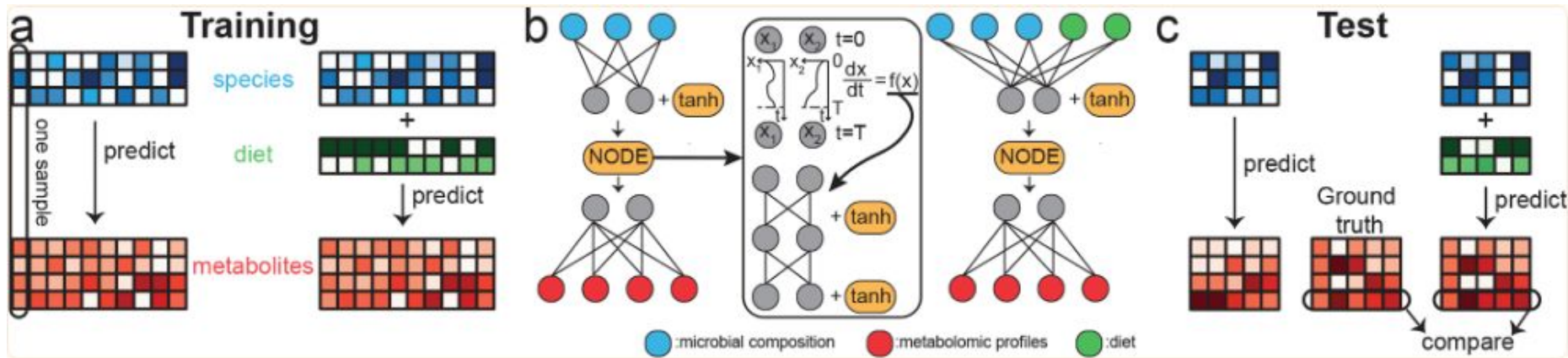
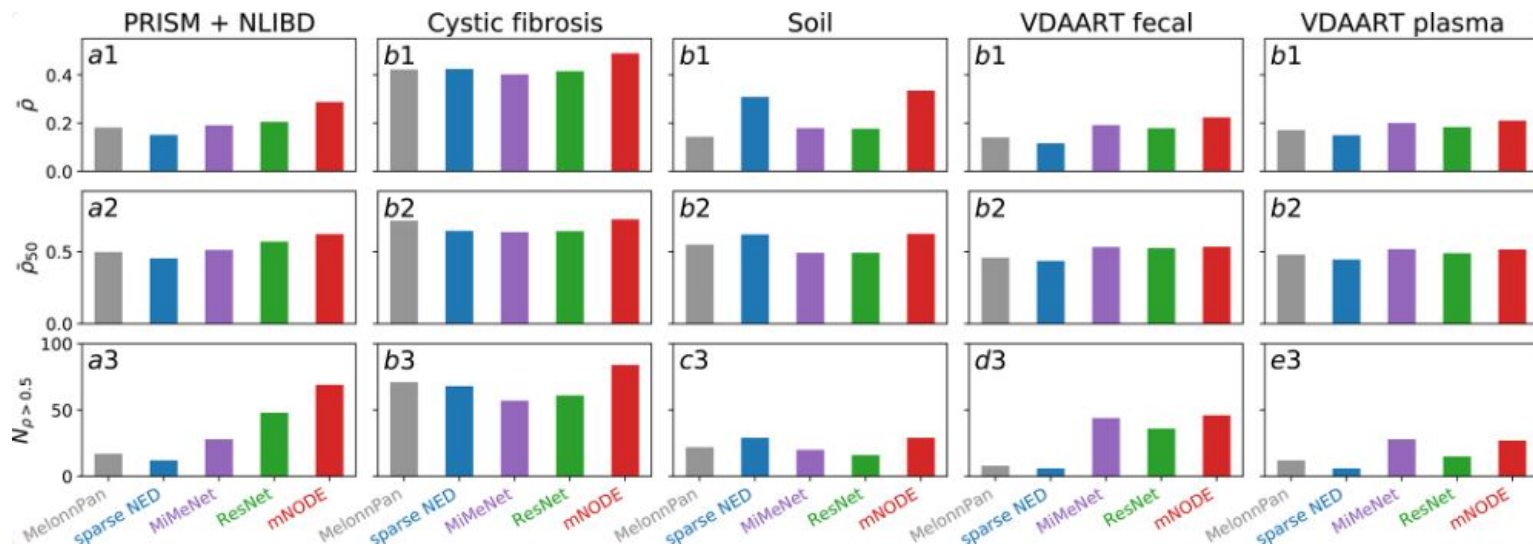


Схема работы mNODE для прогнозирования метаболомных профилей на основе видового микробного состава и информации о питании.

На всех панелях массивы синего цвета представляют микробный состав. Массивы зеленого цвета представляют информацию о питательных веществах. Массивы красного цвета представляют метаболомные профили. Ни в одном из массивов нет недостающих данных, белые квадраты во всех массивах означают небольшие значения. Для иллюстрации идеи используются в общей сложности 15 гипотетических образцов с 3 видами, 2-мя питательными средами и 4 метаболитами. Выборки разделены на обучающую и тестовую с соотношением 2/1. 10 образцов в обучающем наборе используются для обучения модели. Существует два способа прогнозирования метаболомных профилей: один без включения питательных веществ во входные данные, а другой с питательными веществами, включенными в дополнение к микробным композициям. б Архитектура mNODE для двух подходов к обучению. Нейронное ОДУ представляет собой модуль в середине архитектуры и вычисляет временную эволюцию ОДУ, чьи производные по времени первого порядка аппроксимируются с помощью MLP с одним скрытым слоем. Серые узлы представляют нейроны в скрытых слоях mNODE. с Полностью обученный mNODE может генерировать прогнозы для метаболомных профилей в тестовом наборе.ф

# Прогнозирование метаболомного профиля



Сравнение качества прогноза mNODE и существующих методов на наборах данных реальных микробных сообществ. Для сравнения характеристик модели используются три показателя: среднее SCC  $\bar{\rho}$ , среднее SCC  $\bar{\rho}_{50}$  для топ-50 и количество метаболитов с SCC больше 0,5  $N_{\rho>0.5}$ . Все наборы данных случайным образом разделены на обучающие и тестовые с соотношением 80/20, за исключением набора данных PRISM и NLIBD. а1-а3. Результаты после обучения на PRISM и тестирования на NLIBD. б1-б3 Результаты на данных образцов легких больных муковисцидозом. с1-с3 Выполнение методов на данных образцов биокорки почвы после 5-ти увлажнений. d1-d3 Эффективность метода на данных образцов кала детей в возрасте 3 лет. е1-е3 Эффективность методов на данных образцов плазмы крови детей в возрасте 3 лет. SCC - Коэффициент корреляции Спирмена

# Ассимиляция данных культивирования

Предположим у нас есть нестерильный процесс культивирования сообщества микроорганизмов. В сообществе есть основная культура и спутники. Концентрация основной культуры много больше концентрации спутников. Подобная ситуация имеет место в крупнотоннажной биотехнологии. Поскольку процесс не стерильный состав сообщества может дрейфовать и хотелось бы иметь недорогой метод оценки "усредненного" состава. Еще одной особенностью является отсутствие steady state из-за случайных отклонений протока, состава питательной среды, ошибок в измерениях оптической плотности, растворенного кислорода, подачи воздуха и т.д.. Т.е. алгоритмы автоматического контроля удерживают процесс в определенных рамках, но о состоянии равновесия говорить не приходится. Актуальное знание состава сообщества и позволит нам повысить стабильность культивирования и качество контроля

У нас есть данные измерений ряда параметров процесса культивирования, например оптической плотности и концентрации питательной среды. Нам необходимо регулярно уточнять параметры или даже структуру модели описывающей процесс.

Идея подхода с использованием технологии ODE-Net заключается в следующем. Функция  $f$  в правой части ODE необязательно должна быть нейросетью. Это может быть мат.модель процесса культивирования и в процессе тренировки такой ODE+Net мы будем уточнять параметры нашей модели. В общем случае если мы составим  $f$  в обобщенном варианте, включая  $n$  различных спутников взаимодействующих по  $m$  метаболитам с основной культурой и между собой, то в идеале после тренировки мы должны получить модель которую можно упростить убрав незначительные части.

Для начала я взял модель (1) в качестве точной модели процесса. Чтобы уйти от стационарности к потоку  $D = 0.25$  добавил низкочастотный шум. Рассчитал точный процесс и отобрал точки со значениями  $x$  и  $s$  через каждый 15 мин на интервале 3-х месяцев. Тренировка модели выполняется на случайных выборках длительностью 12 часов (48 точек) из отобранных  $s$  и  $x$ .

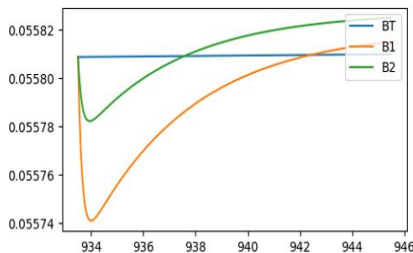
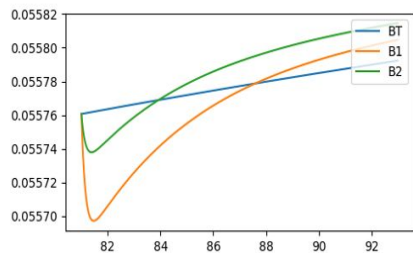
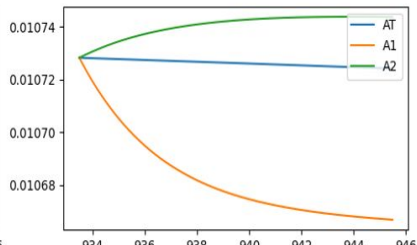
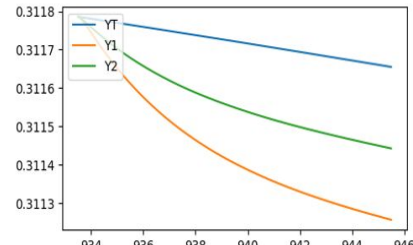
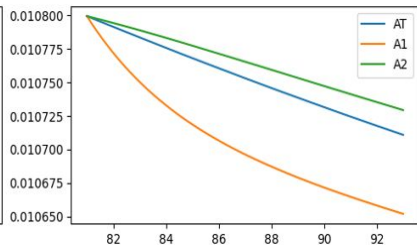
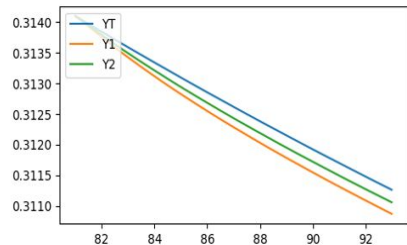
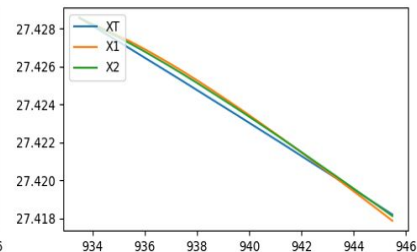
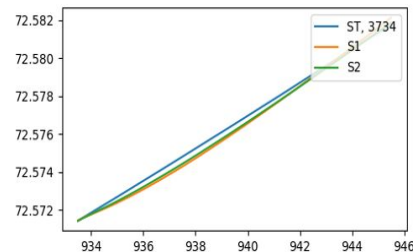
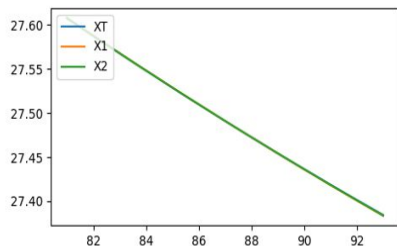
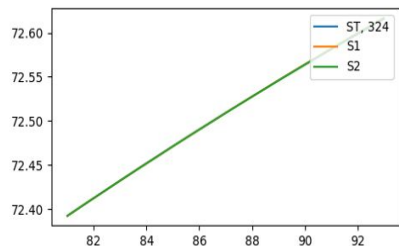
$$\begin{aligned}
 (1) \quad & \frac{dS}{dt} = (S_0 - S)D - \gamma \mu_X X \\
 & \frac{dX}{dt} = (\mu_X - D)X \\
 & \frac{dY}{dt} = (\mu_Y - D)Y \\
 & \frac{dA}{dt} = v_A X - DA - q_A Y \\
 & \frac{dB}{dt} = v_B X - DB - q_B Y \\
 & q_A = g_A \frac{1}{1 + \frac{A}{K_A} + \frac{B}{K_B}} \frac{\mu_{Amax} A}{K_A} \\
 & q_B = g_B \frac{1}{1 + \frac{A}{K_A} + \frac{B}{K_B}} \frac{\mu_{Bmax} B}{K_B} \\
 & \mu_Y = \frac{1}{1 + \frac{A}{K_A} + \frac{B}{K_B}} \left( \frac{\mu_{Amax} A}{K_A} + \frac{\mu_{Bmax} B}{K_B} \right) \\
 & \mu_X = \mu_0 \frac{I_A}{I_A + A} \frac{I_B}{I_B + B} \frac{S}{K_s + S}
 \end{aligned}$$

Параметры точного решения:

$$S_0 = 100; \gamma = 1; v_A = 0.0001; v_B = 0.009; g_A = 0.3; g_B = 3.0; \mu_0 = 0.3; \mu_{Amax} = 0.1; \mu_{Bmax} = 0.7 \\
 K_A = 1.0; K_B = 0.1; I_A = 100.0; I_B = 1.0$$

Эти значения соответствуют сообществу в котором основная культура X потребляет субстрат S и выделяет продукты метаболизма A и B. Оба метаболита ингибируют рост X. Метаболит B ингибирует рост X много больше чем A. Усредненный спутник Y "подъедает" A и B, но быстрее растет на B.

# Ассимиляция данных культивирования



# Ассимиляция данных культивирования

Пока лучший результат:

ga: 0.391015 gb: 5.693592 va: 0.000108 vb: 0.016499 mua: 0.213601 mub: 1.365904 Ka: 0.749377 la: 101.617818  
Kb: 0.249022 lb: 0.999999

Точные значения:

ga: 0.300000 gb: 3.000000 va: 0.000100 vb: 0.009000 mua: 0.100000 mub: 0.700000 Ka: 1.000000 la: 100.000000  
Kb: 0.100000 lb: 1.000000

Начальные значения:

ga: 1.0 gb: 5.0 va: 0.1 vb: 1.0 mua: 0.2 mub: 0.9 Ka: 1.0 la: 10.0 Kb: 0.5 lb: 5.0

Основная проблема на данный момент это разница в несколько порядков градиентов различных параметров. Если параметр значимо влияет на результат его градиент много больше. Значение такого параметра сходится к точному, но градиент по прежнему остается огромным и осциллирует около нуля резко замедляя схождение остальных.